

کنیک حاکمای غیر اشباع
(کنیک حاکمای اشباع چند جزئی)

نتایج تجربی

Unsaturated soils

Hasan Ghasemzadeh

فهرست عناوین و فصول

- ۱- مقدمه - آشنایی - مختصری از ترمودینامیک
- ۲- رفتار فازهای مختلف در خاک غیر اشباع
- ۳- اندازه گیری در خاک غیر اشباع
- ۴- نتایج آزمایشات خاک غیر اشباع
- ۵- تنش موثر و کرنش
- ۶- تئوری های خاک غیر اشباع
- ۷- جریان در خاک غیر اشباع
- ۸- کاربرد خاک غیر اشباع در مهندسی

فهرست عناوین و فصول

نتایج آزمایشات خاک غیر اشباع

- ۱- تعریف تنש‌های موثر در خاک غیر اشباع
- ۲- نفوذ پذیری در خاک غیر اشباع
- ۳- منحنی مشخصه آب-خاک
- ۴- تغییرات حجم خاک غیر اشباع
- ۵- مقاومت برشی خاک غیر اشباع

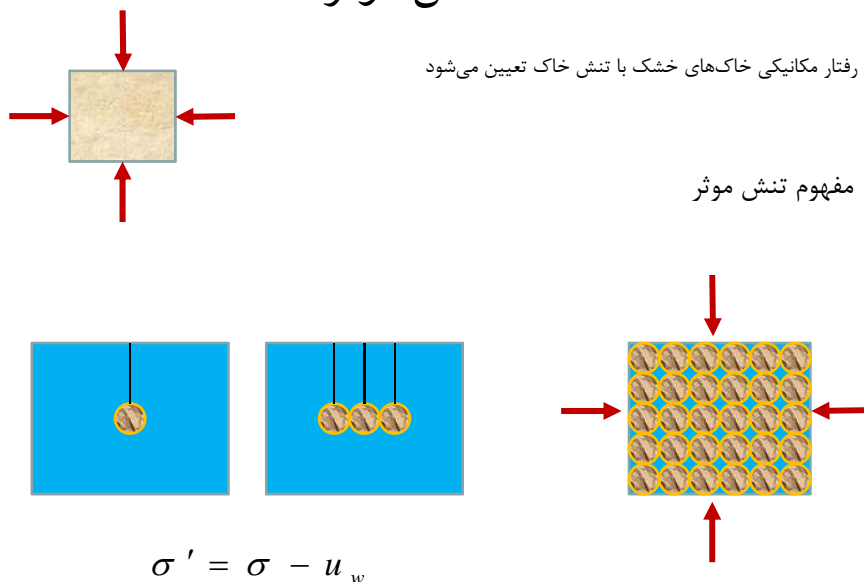
Dr. Hasan Ghasemzadeh

3

تنش موثر

رفتار مکانیکی خاک‌های خشک با تنش خاک تعیین می‌شود

مفهوم تنش موثر

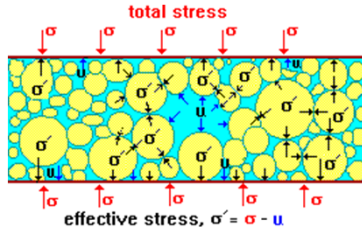


4

Dr. Hasan Ghasemzadeh

تنش موثر

رفتار مکانیکی خاکهای اشیاع با تنش موثر تعیین می‌شود.



تنش موثر ترزاوی (۱۹۳۶)

$$\sigma' = \sigma - u_w$$

$$\sigma'_{ij} = \sigma_{ij} - u_w \delta_{ij}$$

$$\sigma = \begin{pmatrix} \sigma_{11} & \tau_{12} & \tau_{13} \\ \tau_{21} & \sigma_{22} & \tau_{23} \\ \tau_{31} & \tau_{32} & \sigma_{33} \end{pmatrix} \quad \sigma' = \begin{pmatrix} \sigma_{11} - u_w & \tau_{12} & \tau_{13} \\ \tau_{21} & \sigma_{22} - u_w & \tau_{23} \\ \tau_{31} & \tau_{32} & \sigma_{33} - u_w \end{pmatrix}$$

5

Dr. Hasan Ghasemzadeh

تنش موثر

$$\sigma' = \sigma - \left(1 - \frac{B_{sk}}{B_g} \right) u_w \quad \text{تنش موثر اسکمپتون (۱۹۶۰)}$$

B_{sk} مدول حجمی (تراکم پذیری) خاک خشک

B_g مدول حجمی (تراکم پذیری) ذرات خاک

$$0 \leq \frac{B_{sk}}{B_g} \leq 1$$

نسبت سختی ها در فشار محصور کننده کم برابر صفر و در فشار محصور کننده زیاد (مسطح شدن سطح تماس و سمانته شدن) برابر یک است

در صورتیکه سیال و دانه ها تراکم ناپذیر باشند تنش موثر اسکمپتون به تنش موثر ترزاوی تبدیل می شود

6

Dr. Hasan Ghasemzadeh

تنش موثر

تنش موثر (۱۹۷۳) Seridharan and Rao

$$\sigma' = \sigma - u_w - (R_{dl} - Att)$$

در بعضی حالات با تنش موثر ترزاچی ثابت تغییر شکل داریم
مانند انقباض رس درخروج آب از نمونه رس در فشارهای
ثابت یا در اثر ورود یک نمک به خاک که نیروی دافعه بین
ذرات را کم می کند

نیروی دافعه ناشی از لایه دوگانه R_{dl}

نیروی ناشی از جذب (الکترواستاتیک و الکترومغناطیس یا واندروالس) Att

$$\sigma' = \sigma - \mu u_w$$

تعریف عمومی تنش موثر در خاک اشباع

$$0 < \mu \leq 1$$

7

Dr. Hasan Ghasemzadeh

تنش موثر

رفتار مکانیکی خاک غیر اشباع چگونه تعیین می شود؟
بطور معمول رفتار مکانیکی خاکهای غیراشباع نیز با استفاده از متغیرهای تنش شرح داده می شوند.
اما این متغیرها کدامند؟

$$\sigma_{ij} = \sigma'_{ij} + P_w \delta_{ij} \quad \text{خاکهای اشباع}$$

تنش موثر در خاکهای غیراشباع

۱- تنش موثر بیشاب

$$\sigma'_{ij} = (\sigma_{ij} - P_a \delta_{ij}) + \chi_w s \delta_{ij} \quad s = P_a - P_w = u_a - u_w \quad \text{مکش بافتی}$$

مکش بافتی تفاوت فشاری بین فشار هوای حفره ای و فشار آب حفره ای ($u_a - u_w$) است.

به عنوان مثال $u_a - u_w = 1 \text{ Pa}$ یعنی فشار آب خاک ۱ پاسکال کمتر از فشار هوای محیط است.

8

Dr. Hasan Ghasemzadeh

مکش بافتی

سوالات اساسی در مورد مکش بافتی مطرح است :

۱- آیا مکش بافتی یک متغیر از جنس تنش است؟

۲- آیا مکش بافتی یک متغیر کیفی تنش است؟

این گونه به نظر می رسد که مکش بافتی نه متغیری از جنس تنش وارد به REV سه فازه و نه تنش فیزیکی وارد به وجه REV سه فازه می باشد، ولی کمیت χ_w^S تنش فیزیکی اعمالی بر وجه های المان پایه معرف سه فازه می باشد.

در حالت کلی یک متغیر اصلی می تواند با هر نوع متغیر دیگری که بر متغیر اصلی ما تاثیر دارد، توصیف گردد. بنابراین مکش بافتی یک متغیر کیفی تنش است.

Dr. Hasan Ghasemzadeh

9

تنش موثر

- مستقل‌های تنش

$$\sigma_{ij} = P_a \delta_{ij} \quad \text{و} \quad S = u_a - u_w$$

matric suction represents the energy J per unit volume of soil water, not per unit volume of unsaturated soil

10

Dr. Hasan Ghasemzadeh

تансور تنش با دو مستقل تنسي

$$\sigma_{net} = \begin{pmatrix} \sigma_{11} - u_a & \tau_{12} & \tau_{13} \\ \tau_{21} & \sigma_{22} - u_a & \tau_{23} \\ \tau_{31} & \tau_{32} & \sigma_{33} - u_a \end{pmatrix}$$

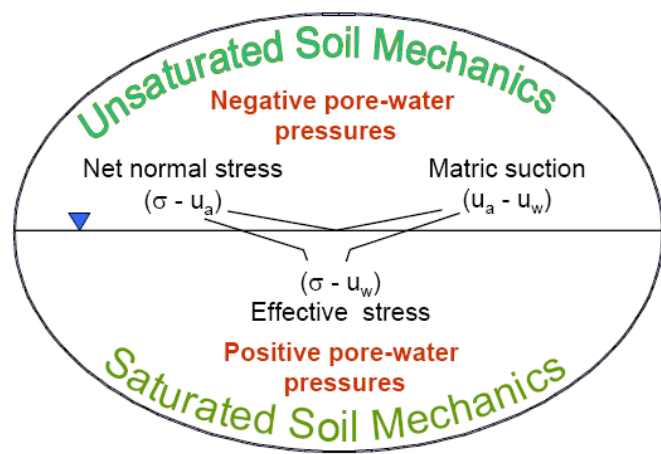
$$s = \begin{pmatrix} u_a - u_w & 0 & 0 \\ 0 & u_a - u_w & 0 \\ 0 & 0 & u_a - u_w \end{pmatrix}$$

Matric Suction Stress Tensor

Dr. Hasan Ghasemzadeh

11

تنش موثر



Dr. Hasan Ghasemzadeh

12

Different stress variable

	Stress variable 1	Stress variable 2
Alonso <i>et al.</i> (1990) Cui <i>et al.</i> (1995) Wheeler & Sivakumar (1995)	$\sigma - u_a$	$u_a - u_w$
Bolzon <i>et al.</i> (1996)	$\sigma - u_a + \chi(u_a - u_w),$ $\chi = S_r$	$u_a - u_w$
Modaressi & Abou-Bekr (1994a & 1994b)	$\sigma - \pi_c,$ $\pi_c = \text{capillary pressure}$	π_c
Kohgo <i>et al.</i> (1993a & 1993b)	$\sigma - u_{eq},$ $u_{eq} = \text{equivalent pore}$ pressure	$u_a - u_w - s_e$ $s_e = \text{air entry suction}$

Dr. Hasan Ghasemzadeh

13

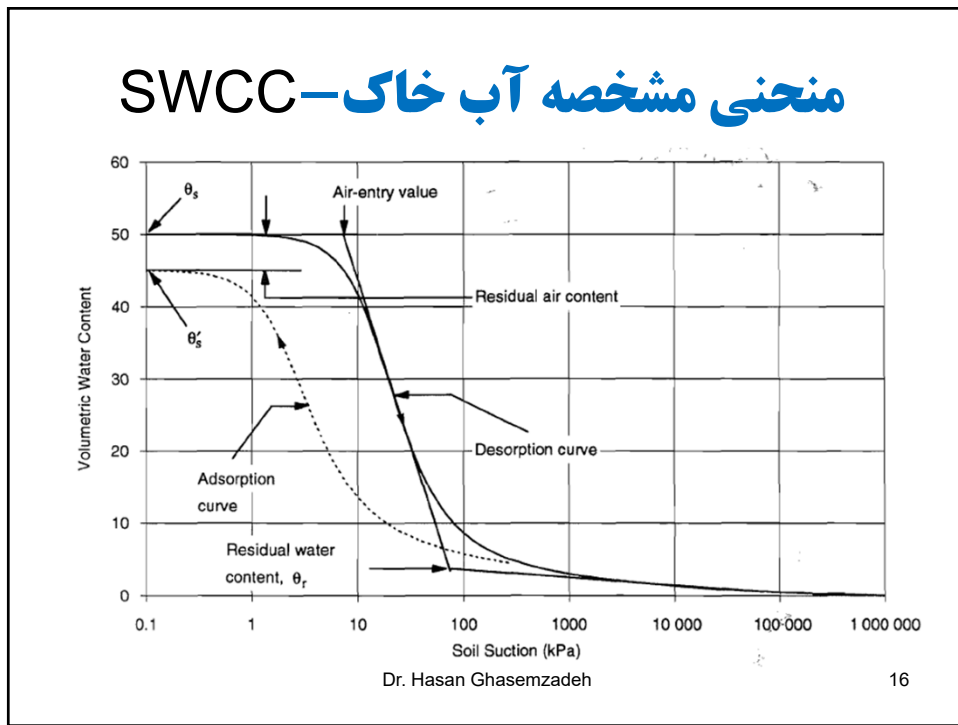
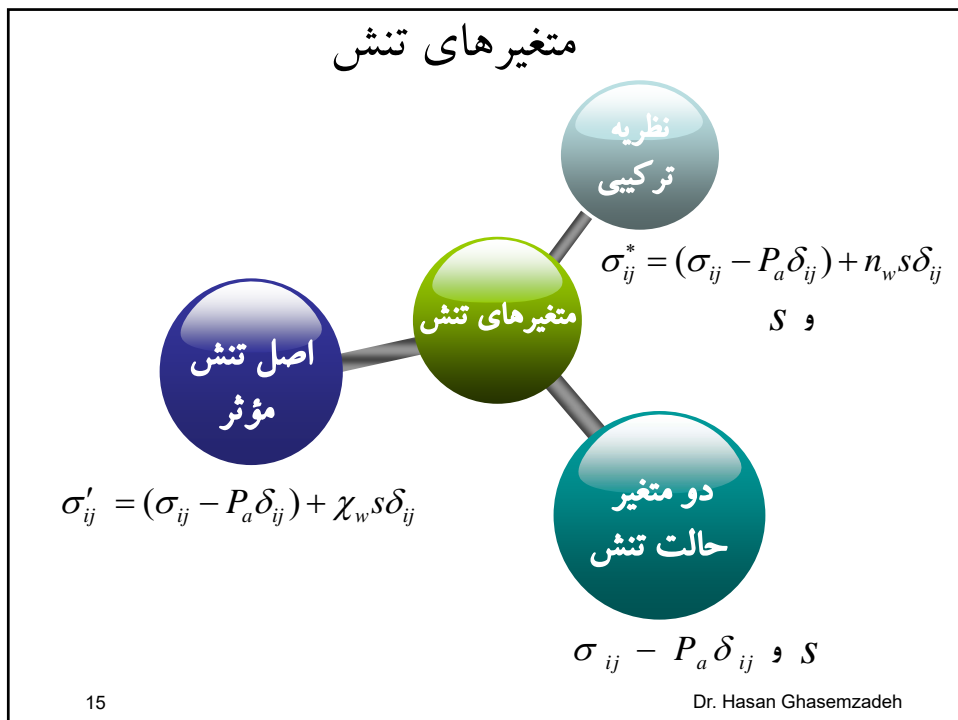
تنش موثر

۳- تنش ترکیبی

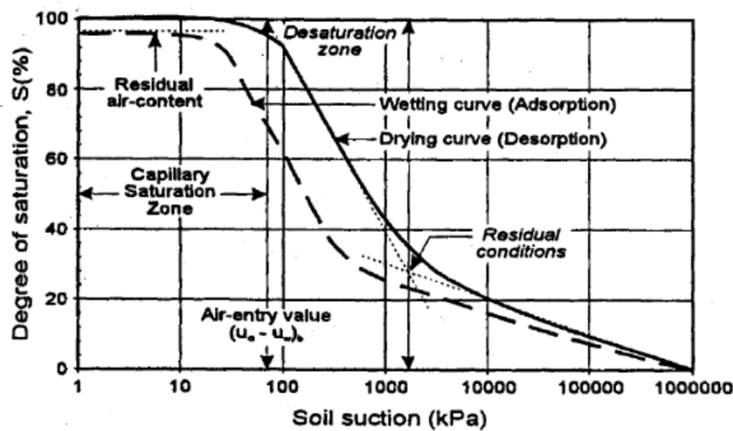
$$\sigma_{ij}^* = (\sigma_{ij} - P_a \delta_{ij}) + n_w s \delta_{ij} \quad , \quad s = P_a - P_w$$

14

Dr. Hasan Ghasemzadeh



رابطه مکش و میزان آب



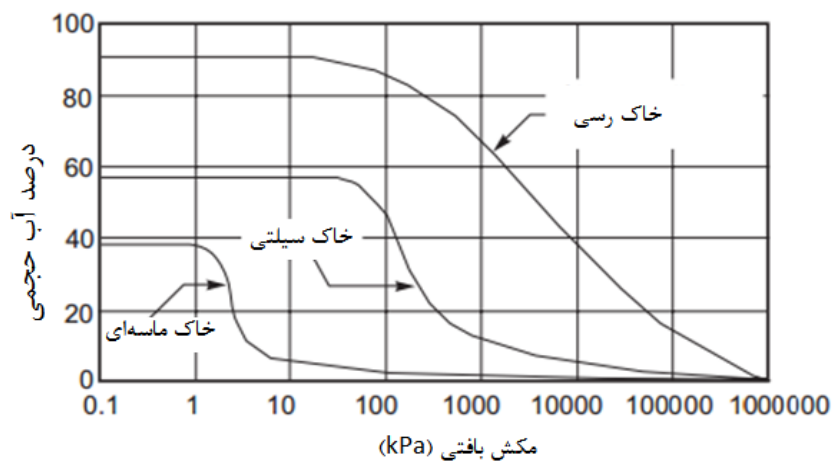
Typical water retention curve (after Fredlund (1998))

Dr. Hasan Ghasemzadeh

آشام و تخلیه

17

منحنی مشخصه آب خاک-SWCC



Dr. Hasan Ghasemzadeh

18

منحنی مشخصه آب خاک-SWCC

$$\theta = \theta_s \left[\frac{1}{\ln \left[e + (\psi / a)^n \right]} \right]^m$$

فردلند و زینگ 1994

به ترتیب پیانگر درصد حجمی آب در یک مکش دلخواه و حالت اشباع کامل بوده و θ_s θ

پیانگر مکش موجود در خاک است که می‌توان مکش کل یا بافتی باشد.

Dr. Hasan Ghasemzadeh

19

منحنی مشخصه آب خاک-SWCC

در صورتیکه رابطه مکش و درجه اشباع از رابطه فردلن و زینگ با ثوابت ($a=n=0.5, m=1$) تبعیت کند مقدار مکش در خاک چقدر است. $\theta_s = 0.29$ $\theta = 0.087$

$$\theta = \theta_s \left[\frac{1}{\ln \left[e + (\psi / a)^n \right]} \right]^m = 0.087$$

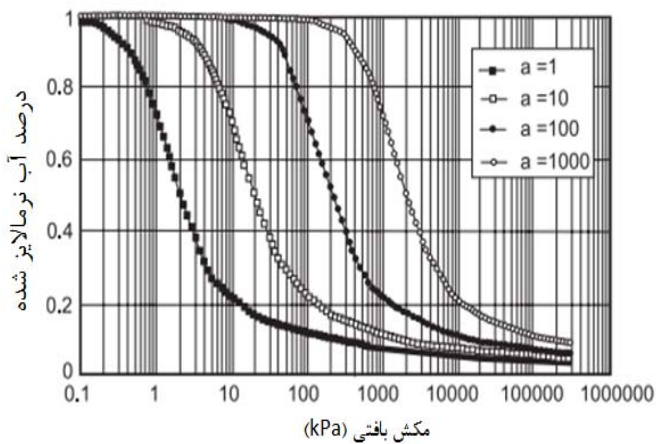
$$0.29 \left[\frac{1}{\ln \left[e + (\psi / 0.5)^{0.5} \right]} \right]^1 = 0.087 \rightarrow \psi = 320.38 \text{ kPa}$$

Dr. Hasan Ghasemzadeh

20

منحنی مشخصه آب خاک-SWCC

$$\Theta = \left(\frac{\theta - \theta_r}{\theta_s - \theta_r} \right)$$

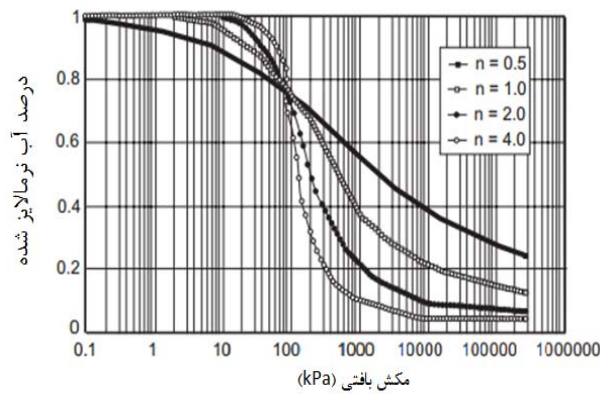


Dr. Hasan Ghasemzadeh

21

منحنی مشخصه آب خاک-SWCC

$$\Theta = \left(\frac{\theta - \theta_r}{\theta_s - \theta_r} \right)$$

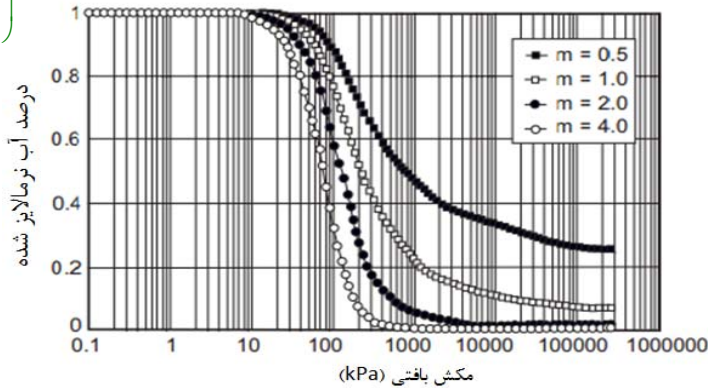


Dr. Hasan Ghasemzadeh

22

منحنی مشخصه آب خاک-SWCC

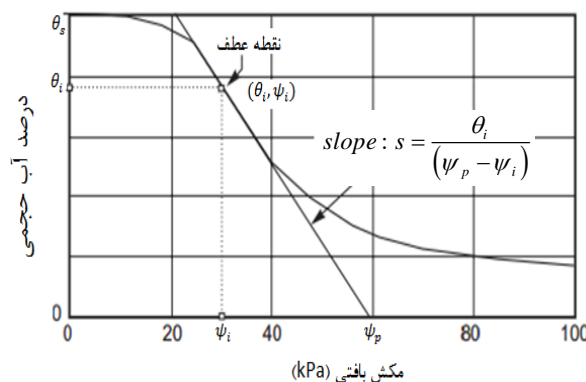
$$\Theta = \left(\frac{\theta - \theta_r}{\theta_s - \theta_r} \right)$$



Dr. Hasan Ghasemzadeh

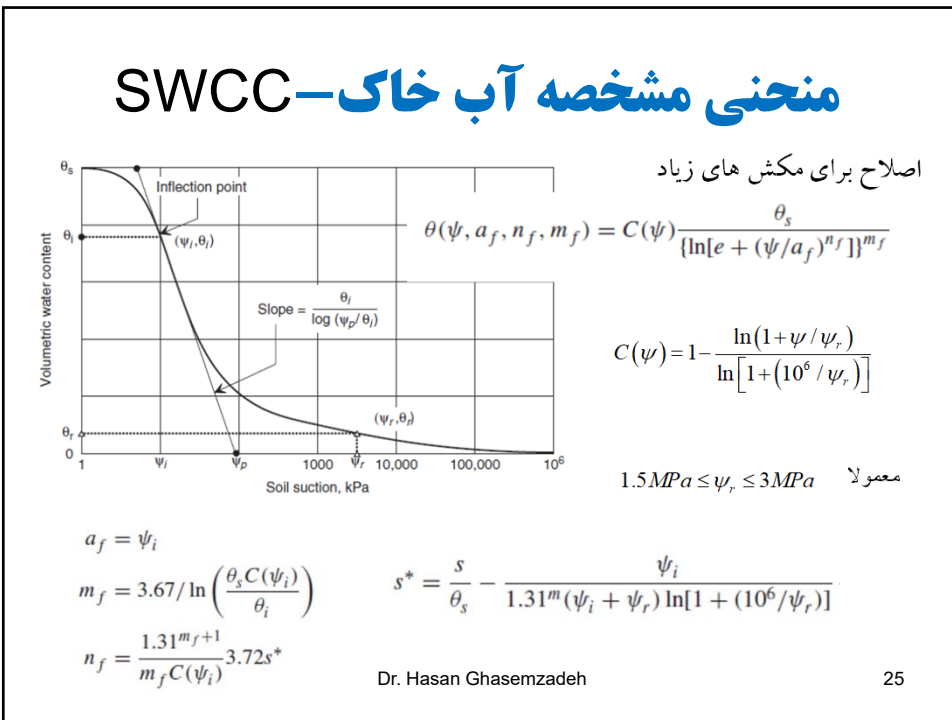
23

منحنی مشخصه آب خاک-SWCC



Dr. Hasan Ghasemzadeh

24



منحنی مشخصه آب خاک-SWCC

روابط تغییرات محتوای حجمی آب با مکش در خاک غیراشباع

ردیف	محقق	رابطه
1	Gardner 1958	$\theta_w = \theta_r + \frac{\theta_s - \theta_r}{1 + a\psi^b}$
2	Brooks & Corey 1964	$\theta_w = \theta_r + (\theta_s - \theta_r)(a/\psi)^b$
3	Van Genuchten 1980	$\theta_w = \theta_r + \frac{\theta_s - \theta_r}{[1 + a\psi^b]^c}$
4	Fredlund et.al 1995	$\theta = \theta_s \left(1 - \frac{\ln(1 + (u_a - u_w)/(u_a - u_w)_r)}{\ln(1 + 1000000/(u_a - u_w)_r)} \right) \left[\frac{1}{\ln(e + ((u_a - u_w)/a)^n)} \right]^m$

Dr. Hasan Ghasemzadeh 26

منحنی مشخصه آب خاک-SWCC

روابط تغییرات محتوای حجمی آب با مکش در خاک غیراشباع

$$\theta = \theta_r + \frac{\theta_s - \theta_r}{[1 + a\psi^b]^c}$$

Van Genuchten 1980

$$\theta_e = \frac{\theta - \theta_r}{\theta_s - \theta_r}$$

$$\theta_e = \frac{1}{[1 + (\alpha(u_a - u_w))^n]^{1/n}} \quad \alpha = \frac{1}{u_{aAEV}} \quad n = \text{pore-size spectrum number}$$

The larger the value of n is, the wider the range of pore sizes

Dr. Hasan Ghasemzadeh

27

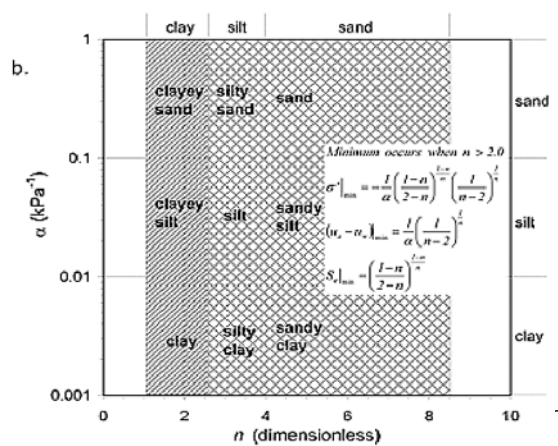
منحنی مشخصه آب خاک-SWCC

Van Genuchten 1980

$$\theta_e = \frac{1}{[1 + (\alpha(u_a - u_w))^n]^{1/n}}$$

$$\alpha = \frac{1}{u_{aAEV}}$$

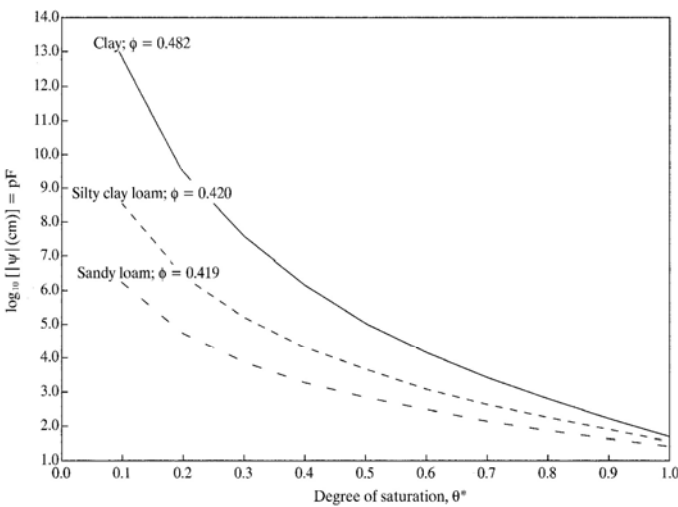
n = pore-size spectrum number



28

منحنی مشخصه آب خاک-SWCC

Figure 7.16 Soil-water pressure (tension), $|\psi|$, versus degree of saturation, θ^* , for soils of three different textures. Note that the vertical axis gives the base-10 logarithm of the tension expressed in cm of water (pf). Curves are based on typical values given by Clapp and Hornberger (1978).



Dr. Hasan Ghasemzadeh

29

نفوذپذیری آب در خاک غیراشباع

روابط نفوذپذیری با درجه اشباع آب در خاک غیراشباع

ردیف	محقق	رابطه
1	Corey 1957	$k_w = k_{w0} \left(\frac{S_r - S_{ru}}{[1 - S_{ru}]} \right)^d$
2	Gardner 1958	$k_w = \frac{k_{w0}}{\left[1 + a \left(\frac{(P_g - P_w)}{\rho_w} \right)^b \right]}$
3	Richards et Chan 1969	$k_w = E + \frac{D}{A + B(P_g - P_w)^m + C(P_g - P_w)^n}$
4	Kovacs 1981	$k_w = k_{w0} \left(\frac{S_r - S_{ru}}{[1 - S_{ru}]} \right)^d$

Dr. Hasan Ghasemzadeh

30

نفوذپذیری

$$K = K(n, \theta, T)$$

نفوذپذیری تابعی از تخلخل، محتوای حجمی و درجه حرارت است

$$K = K_{\text{int}}(n)k_r(\theta)$$

نفوذپذیری مطلق برحسب دارسی یا متر مربع $K_{\text{int}}(n)$

$$\text{nفوذپذیری نسبی } K_r(\theta)$$

Table 3. Intrinsic permeabilities and saturated hydraulic conductivities obtained for 5 soil samples

Soil type	Intrinsic permeability (K_{int} , m ²)		Saturated water conductivity (k_w m/s)	
	Average	s.d.	Average	s.d.
Coarse sand	1.03×10^{-10}	3%	1.38×10^{-3}	9%
Stockton sand	7.14×10^{-11}	10%	5.96×10^{-4}	26%
Silica	3.12×10^{-11}	12%	3.03×10^{-4}	10%
Dark mineral sand	1.40×10^{-11}	9%	1.60×10^{-4}	6%
Ballotini	6.35×10^{-12}	61%	6.65×10^{-5}	11%

1 darcy = 10^{-12} m²

Dr. Hasan Ghasemzadeh

31

نفوذپذیری

$$K = K_{\text{int}}(n)\rho g / \mu$$

هدایت هیدرولیکی برحسب K

$$\text{kg.m/s or Ns/m}^2 \text{ or Pa.s} \quad \mu$$

Material	m/s
Coarse sands	1.0E-03
Sands	1.0E-04
Most soils	1.0E-05
Clay/weathered till	1.0E-06
Heavy Clays	1.0E-07
Solonetzic soils	1.0E-08
Unweathered till to - compacted clay barriers	1.0E-09
	1.0E-10

1 darcy = 10^{-12} m²

Dr. Hasan Ghasemzadeh

32

نفوذپذیری نسبی در برابر آب

$$K_w = K_{\text{int}}(n) k_{rw}(\theta) / \mu$$

نفوذپذیری در برابر آب در خاک غیراشباع K_w

نفوذپذیری نسبی در برابر آب $K_{rw}(\theta)$

نفوذپذیری مطلق بر حسب دارسی $K(n)$

لزجت بر حسب Ns / m^2 μ_w

$$K_w = K_{w0} \cdot 10^{aw} \cdot \left(\frac{S_r - S_{ru}}{1 - S_{ru}} \right)^d \left(\frac{\mu_w(T_r)}{\mu_w(T)} \right)$$

برای نمونه

$$\mu_w = 0.06612(T - 229)^{-1.562} \quad \text{Kaye and Laby (1973)}$$

Dr. Hasan Ghasemzadeh

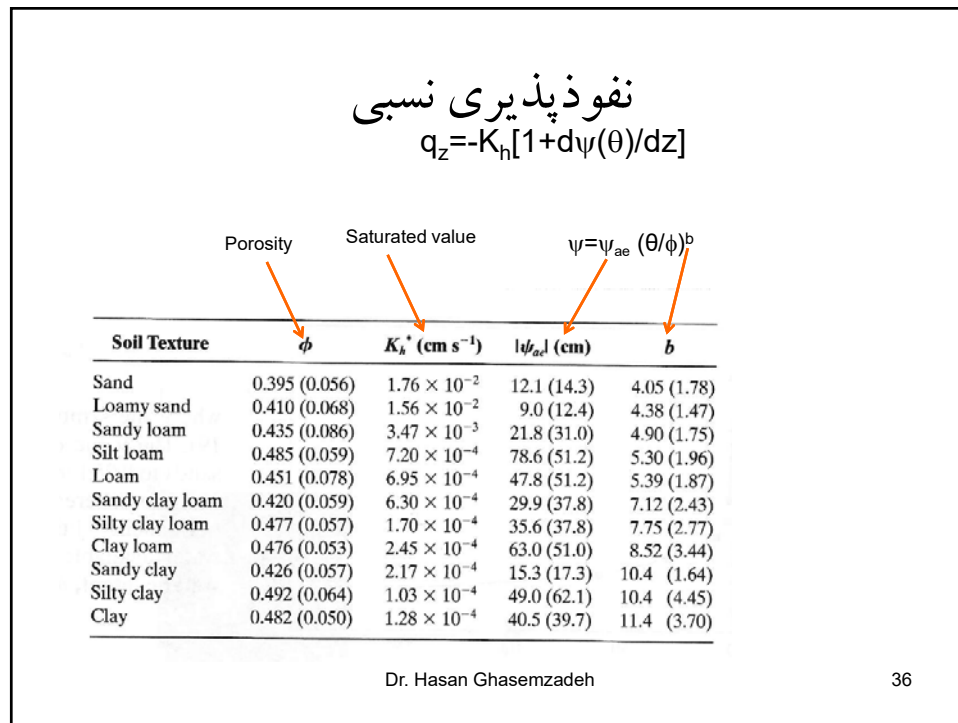
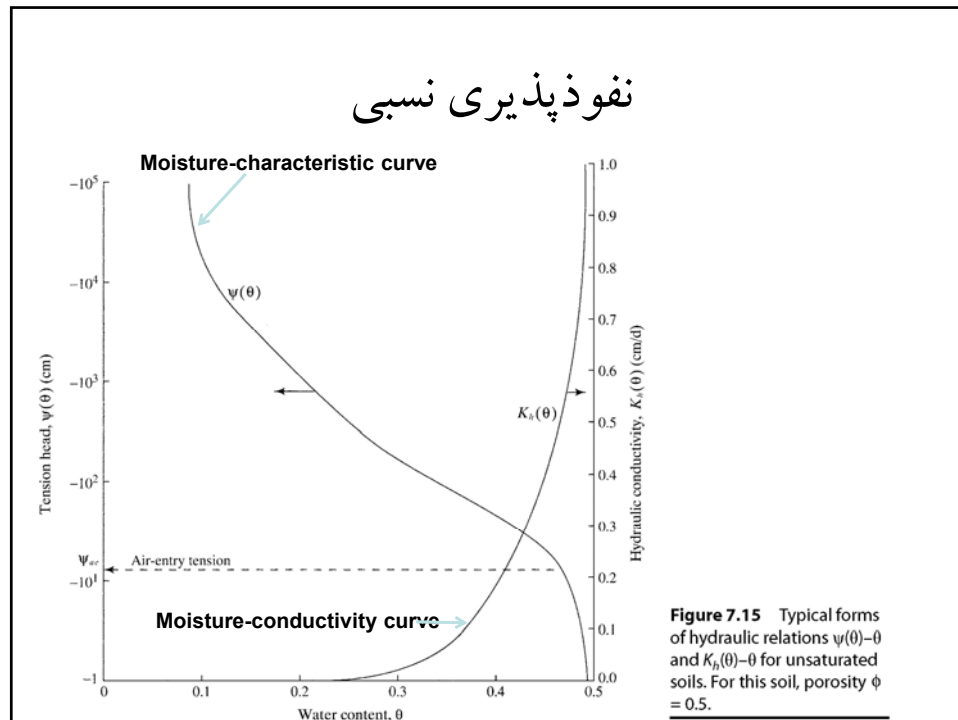
33

نفوذپذیری نسبی

Référence	Perméabilité à l'eau	Les paramètres
Irmay 1954	$K_w = K_{w0} \left(\frac{S_r - S_{ru}}{1 - S_{ru}} \right)^d$	$S_{ru}, d=3$
Corey 1957	$K_w = K_{w0} \left(\frac{S_r - S_{ru}}{1 - S_{ru}} \right)^d$	$S_{ru}, d=4$
Gardner 1958	$K_w = \frac{K_{w0}}{1 + a (P_w - P_r) / \rho_w ^b}$	a, b
Scott 1963	$K_w = K_{w0} [1 - n(1 - S_r)]$	
Richards et Chan 1969	$K_w = E + \frac{D}{A + B(P_g - P_w)^m + C(P_g - P_w)^n}$	A, B, C, D, E, m, n
Kovacs 1981	$K_w = K_{w0} \left(\frac{S_r - S_{ru}}{1 - S_{ru}} \right)^d$	$S_{ru}, d=3,5$
Gens et al 1997	$K_w = \frac{K_{w0}}{\mu_w} K_{rw}(S_r) \left(\frac{n^3}{(1-n)^2} \right) \left(\frac{(1-n_0)^2}{n_0^3} \right)$	n_0
Gatmiri 1997	$K_w = K_{w0} \cdot 10^{aw} \left(\frac{S_r - S_{ru}}{1 - S_{ru}} \right)^d \left(\frac{\mu_w(T_r)}{\mu_w(T)} \right)$	a, S_{ru}, d

Dr. Hasan Ghasemzadeh

34



نفوذپذیری در برابر گاز

$$K_g = K_{\text{int}}(n) k_{rg}(\theta_g) / \mu_g \quad \begin{matrix} \text{نفوذپذیری مطلق بر حسب دارسی} & K_{\text{int}}(n) \\ \text{نفوذپذیری نسبی در برابر گاز} & K_{rg}(\theta) \end{matrix}$$

$$Ns / m^2 \quad \begin{matrix} \text{لزجت بر حسب} & \mu_g \end{matrix}$$

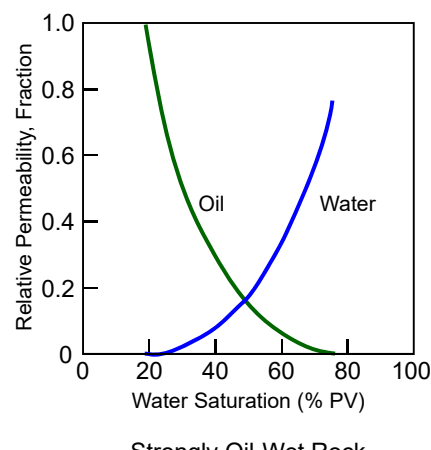
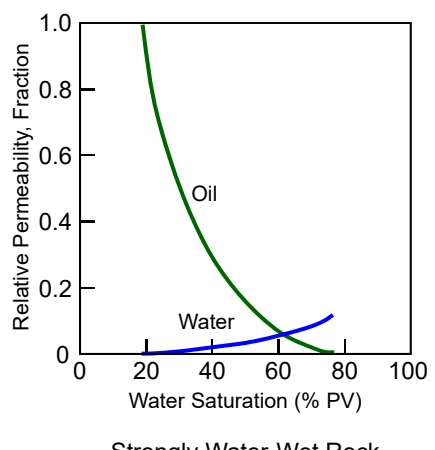
$$\mu_w = 0.06612(T - 229)^{-1.562}$$

Dr. Hasan Ghasemzadeh

37

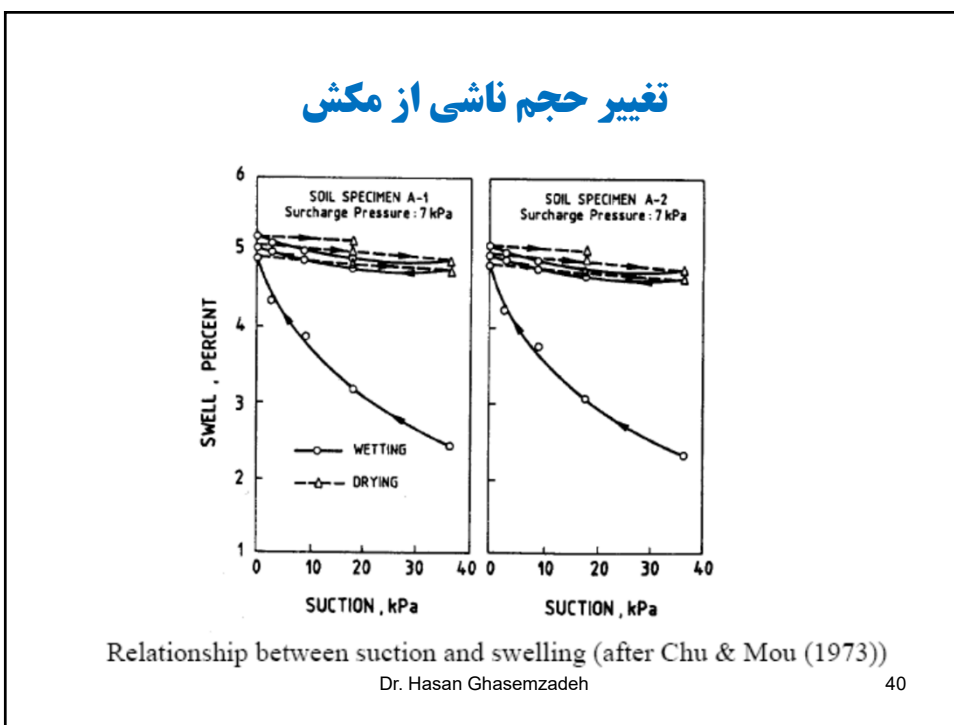
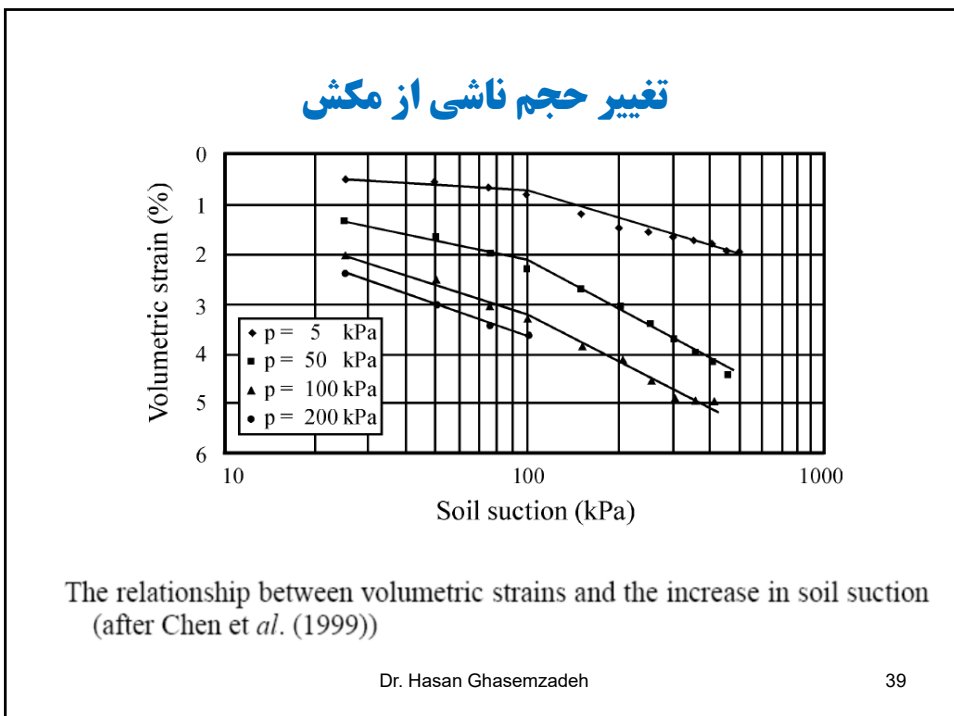
نفوذپذیری نسبی

Introduction to Relative Permeability

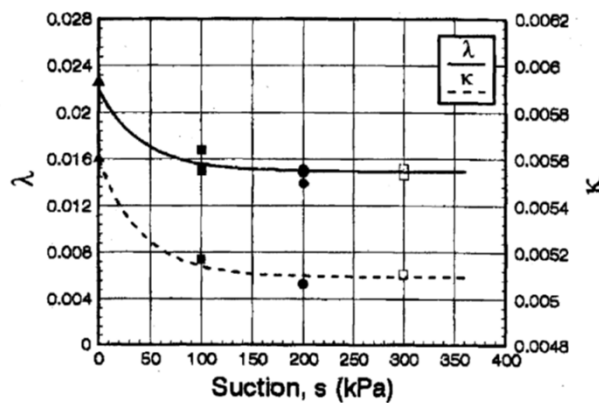


Dr. Hasan Ghasemzadeh

38



تغییر تراکم پذیری ناشی از مکش

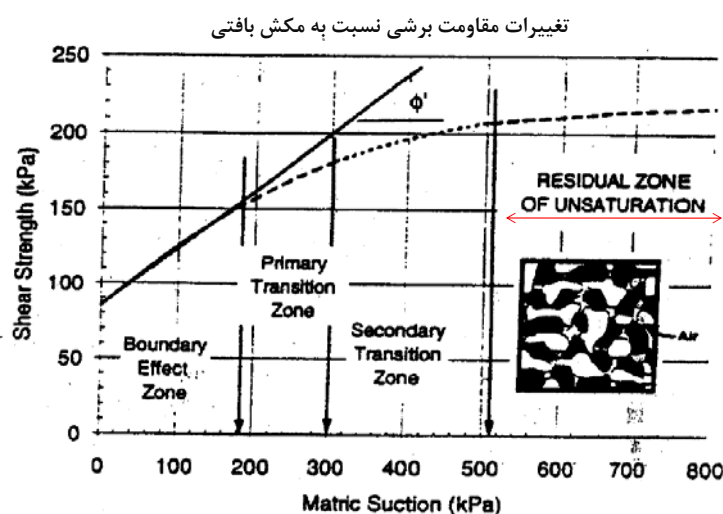


Influence of suction on parameters κ and λ (after Rampino et al. (2000))

Elastic (pre-yield) compressibility coefficient κ
 Elasto-plastic (post-yield) compressibility coefficient λ
 Dr. Hasan Ghasemzadeh

41

مقاومت برشی



Dr. Hasan Ghasemzadeh

42

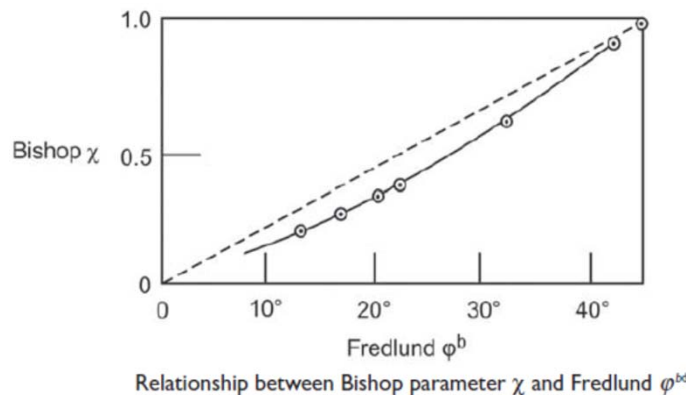
مقاومت برشی

روابط ارائه شده برای محاسبه مقاومت برشی خاک غیراشباع

ردیف	محقق	رابطه
۱	(Bishop 1959)	$\rightarrow \tau = [c' + (\sigma_n - u_a) \tan \phi'] + [\chi (u_a - u_w) \tan \phi']$
۲	(Khalili & Khabbaz 1998)	$\rightarrow \chi = \left\{ \frac{(u_a - u_w)_f}{(u_a - u_w)_b} \right\}^{-0.55}$
۳	(Fredlund et.al 1978)	$\rightarrow \tau = [c' + (\sigma_n - u_a) \tan \phi'] + [(u_a - u_w) \tan \phi^b]$
۴	(Vanapalli et. al 1996)	$\rightarrow \tau = [c' + (\sigma_n - u_a) \tan \phi'] + (u_a - u_w) [(\Theta^\kappa) (\tan \phi')]$
۵	(Vanapalli et. al 1996)	$\rightarrow \tau = c' + (\sigma_n - u_a) \tan \phi' + (u_a - u_w) \left[(\tan \phi') \left(\frac{\theta_r - \theta_c}{\theta_s - \theta_r} \right) \right]$
۶	(Oberg & Sallfors 1997)	$\rightarrow \tau_f = c' + (\sigma - S_r u_w - (1 - S_r) u_a) \tan \phi'$

Dr. Hasan Ghasemzadeh

43



Dr. Hasan Ghasemzadeh

44

مکاومت پرشی

:Vanapalli & Fredlund 2000 مقایسه روش های مختلف برای پیش بینی مقاومت بر شی خاک غیر اشباع خواص خاک استفاده شده در آزمایش

پارامتر	نشانه	واحد	رس خاکسش روی مادرید	رس لای دار قرمز	ماشه رس دار مادرید
ماشه	-	%	۱	۱۷	۸۷
لای	-	%	۲۷	۴۸	۷
رس	-	%	۷۲	۳۵	۶
حد روانی	w_t	%	۷۱	۳۳	۲۸
شاخص خمیری	I_p	%	۳۵	۱۳/۶	۸
وزن مخصوص	G_s	-	۲/۶۴	۲/۶۶	۲/۷۱
نسبت تخلخل	e	-	۱/۰۳	۰/۴۸	۰/۳۸

$$(u_a - u_w)_f = 5500 \text{ kPa}$$

$$\Theta = 0.5 \rightarrow \chi = 0.12$$

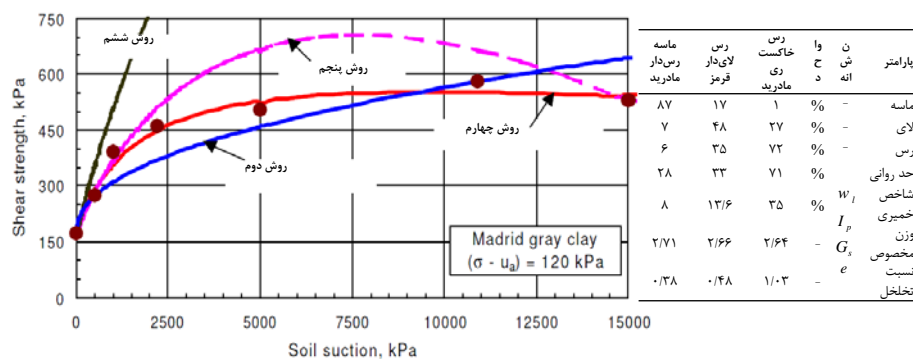
روش اول: بیشاب

Dr. Hasan Ghasemzadeh

45

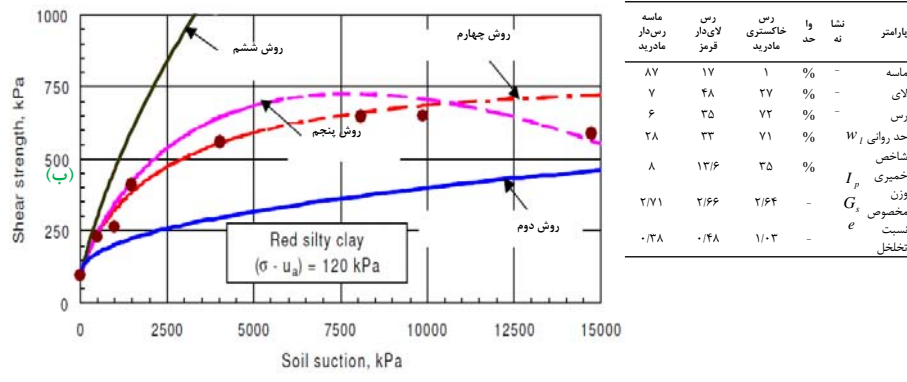
مقاومت پرشی

روشن های مختلف برای پیش بینی مقاومت بر سی خاک غیر اش باع (Vanapalli & Fredlund 2000) مقداری سه خاصی خاک استفاده شده در آزمایش.



مقاومت برشی

مقایسه روش‌های مختلف برای پیش‌بینی مقاومت برشی خاک غیراسباع (Vanapalli & Fredlund 2000)
خواص خاک استفاده شده در آزمایش

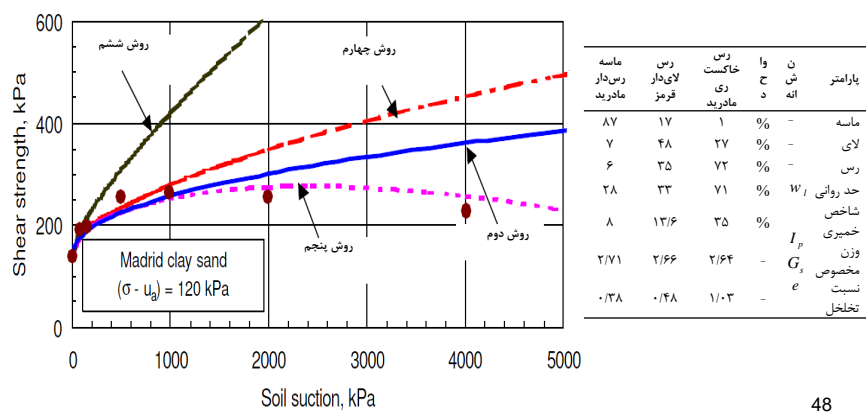


47

Dr. Hasan Ghasemzadeh

مقاومت برشی

مقایسه روش‌های مختلف برای پیش‌بینی مقاومت برشی خاک غیراسباع (Vanapalli & Fredlund 2000)
خواص خاک استفاده شده در آزمایش



48

Dr. Hasan Ghasemzadeh

Shear modulus

$$G_{\max} = Af(e)p'' \quad p' = p_n + \chi\psi \quad p_n = p - u_a \quad \text{Hardin and Black 1968}$$

$$G_{\max} = Af(e)p_n^n - B\psi \quad \text{Mancuso et al.2002}$$

$$G_{\max} = AP_a \left[\frac{p'_c}{p_n} \exp \left(\frac{\Delta e^p}{\lambda - \kappa} \right) \right]^K \left[\frac{p_n}{p'} \exp(b[S_{e0} - S_e]) \right]^{K'} \left[\frac{p'}{p_a} \right]^n$$

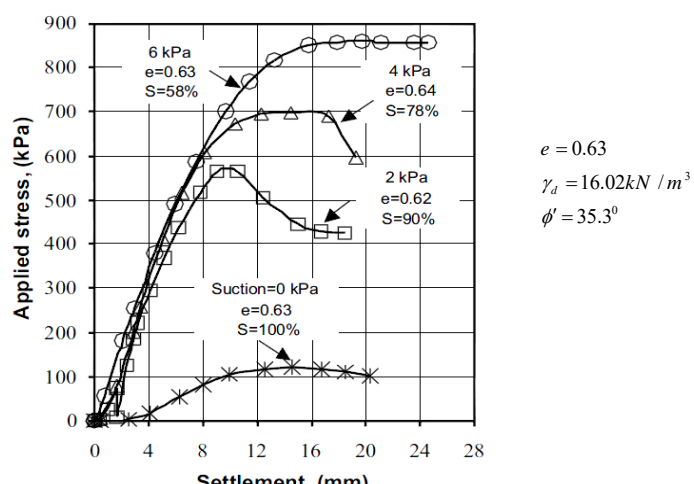
$$S_e = \frac{S_r - S_{r,res}}{1 - S_{r,res}}$$

Khosravi and McCartney 2012

Dr. Hasan Ghasemzadeh

49

ظرفیت باربری



رابطه بین تنش اعمالی به نشست برای مدل پی با ابعاد
100mm × 100mm
Dr. Hasan Ghasemzadeh (Vanapalli & Mohamed 2007) 50

